

ci proponiamo adesso di calcolare le correzioni virtuali al processo $e^+e^- \rightarrow q\bar{q}$ al primo ordine perturbativo in α_s .

Dalla formula LSZ si ha

$$M_R = \sqrt{R_{2,e}}^2 \sqrt{R_{2,q}}^2 (M^{(0)} + M^{(1)} + \dots)$$

residui al polo dei propagatori rinormalizzati ampiezze troncate

Gli elettroni non si accoppiano direttamente ai quark o ai gluoni, pertanto $R_{2,e} = 1 + O(\alpha_s^2)$

I quark invece si accoppiano ai gluoni e si ha

$$R_{2,q} = 1 + \delta R_2 \quad \text{con } \delta R_2 = O(\alpha_s); \quad \delta R_2 = \left. \frac{\partial \Sigma}{\partial \hat{p}} \right|_{m_F} - \delta_2$$

$$M^{(0)} = \text{diagramma a tre linee (due esterne, una interna)} \quad \text{controt termine } 2-1$$

controt termine 2-1

$$M^{(1)} = \text{diagramma a tre linee con un loop di gluoni}$$

come unico contributo.

AUTOENERGIA DEL QUARK

$$-i \Sigma(\hat{p}) = \text{diagramma} = C_F \Sigma^{QED}(\hat{p})|_{e \rightarrow g}$$

Valutiamo l'autoenergia in regolarizzazione dimensionale, senza imporre una massa λ per il campo di gauge, e trascurando la massa del fermione: $m_F = 0$.

Riprendendo il calcolo fatto in QED troviamo, dopo aver parametrizzato con Feynman il prodotto dei denominatori, e dopo aver svolto l'integrale di loop,

$$\Sigma(\hat{p}) = \frac{2C_F g^2}{(4\pi)^2} (4\pi\mu^2)^\epsilon \Gamma(\epsilon) (-1+\epsilon) \hat{p} \int_0^1 dx (1-x) [-x(1-x)p^2 - i0]^{-\epsilon}$$

\downarrow pole UV

Per $p^2 < 0$ l'integrale in x si esprime in termini della funzione Beta di Eulero:

$$B(p, q) := \int_0^1 dx x^{p-1} (1-x)^{q-1} = \frac{\Gamma(p)\Gamma(q)}{\Gamma(p+q)}$$

$$\Rightarrow \int_0^1 dx x^{-\epsilon} (1-x)^{1-\epsilon} = B(1-\epsilon, 2-\epsilon) = \frac{1}{2} B(1-\epsilon, 1-\epsilon) = \frac{1}{2} + \epsilon + O(\epsilon^2)$$

$$\Rightarrow \Sigma(\hat{p}) = -C_F \frac{\alpha_s}{4\pi} \hat{p} \left(\frac{4\pi\mu^2}{-p^2} \right)^\epsilon \frac{1}{\epsilon} \Gamma(1+\epsilon) B(1-\epsilon, 1-\epsilon) (1-\epsilon)$$

$$= -C_F \frac{\alpha_s}{4\pi} \hat{p} \left[\frac{1}{\epsilon} - \gamma + \ln\left(\frac{4\pi\mu^2}{-p^2}\right) + 1 + O(\epsilon) \right] =: \hat{p} \sigma(p^2)$$

Poiché $\Sigma(\hat{p}) \propto \hat{p}$, il quark non riceve correzioni radiative alle masse, cioè possiamo mantenere $m_F = 0$ senza neanche aver bisogno del contotermino δm .
In altre parole, se $m_R = 0$ e $\delta m = 0$

$$G_{R\psi} = i / [\hat{p} - \Sigma(\hat{p}) + \delta_2 \hat{p}] = \frac{i}{\hat{p} [1 + \delta_2 - \sigma(p^2)]} \quad \text{ha polo a } \hat{p} = m_F = 0$$

Rimane da fissare il controtermine δ_2 .

17

■ Schema ON-SHELL: richiediamo $G_{2R} = \frac{i}{\hat{p} - m_F} = \frac{i}{\hat{p}}$

$$\Rightarrow \delta_2^{os} = \sigma(0) \propto \frac{1}{\epsilon} (0)^{-\epsilon} \quad \text{mol definito se } \epsilon > 0.$$

Considerando $\epsilon < 0$ abbiamo $\delta_2^{os} = \sigma(0) = 0$.

Ma allora $G_{2R} = \frac{i}{\hat{p}(1 - \sigma(p^2))}$ contiene la divergenza

UV di $\sigma(p^2)$ non compensata da δ_2 .

Morale: lo schema on-shell è inconsistente per fermioni di massa nulla

■ Schema MS: scegliamo δ_2 in modo da rimuovere solo il polo $\frac{1}{\epsilon}$ ed i soliti termini costanti $\ln 4\pi - \gamma$:

$$\delta_2^{\overline{\text{MS}}} = -C_F \frac{\alpha_s}{4\pi} \left(\frac{1}{\epsilon} - \gamma + \ln 4\pi \right) \quad \text{Allora}$$

$$G_{R\psi} = \left[i / \hat{p} \left[1 + \frac{\alpha_s}{4\pi} C_F \left(1 - \ln \frac{p^2}{\mu^2} \right) \right] \right] \quad \text{è finito per } p^2 \neq 0,$$

acquista una parte immaginaria a denominatore per $p^2 > 0$,
ma diverge a $p^2 = m_F^2 = 0$!

In realtà ce lo dovevamo aspettare: è la divergenza IR già incontrata, a cui si aggiunge una divergenza collineare poiché $m=0$.

Regolarizziamo questa divergenza mediante ϵ ,
e pensiamo $\epsilon = \epsilon_{IR} < 0$, perché è per valori negativi di ϵ che guadagniamo la convergenza degli integrali divergenti IR.

Abbiamo visto che $\Sigma(0) = 0$ per $\epsilon < 0$.

18

Allora $G_{R\psi}^{\overline{MS}}(\hat{p} = m_F) = \frac{i}{\hat{p}(1 + \delta_2^{\overline{MS}})}$

$$\Rightarrow (R_\psi^{\overline{MS}})^{-1} = 1 + \delta_2^{\overline{MS}} = 1 - \frac{\alpha_s}{4\pi} C_F \left(\frac{1}{\epsilon} - \gamma + \ln 4\pi \right) = 1 + \frac{\alpha_s}{4\pi} C_F \left(\frac{1}{-\epsilon_{IR}} + \gamma - \ln 4\pi \right)$$

In pratica, la divergenza IR emerge tramite la sottrazione UV del controtermine.

Un punto di vista alternativo e forse più trasparente si ha considerando $\Sigma(\hat{p})|_{p^2=0}$ prima di svolgere l'integrale di loop:

$$\Sigma(\hat{p}) = i(g\mu^\epsilon)^2 C_F^2 (1-\epsilon) \int_0^1 dx \int \frac{d^D k'}{(2\pi)^D} \frac{\hat{k}' - (1-x)\hat{p}}{[k'^2 + x(1-x)p^2]^2}$$

\nearrow divergi

$$\Sigma(\hat{p})|_{p^2=0} = -i(g\mu^\epsilon)^2 C_F^2 (1-\epsilon) \int_0^1 dx (1-x) \int \frac{d^D k'}{(2\pi)^D} \frac{1}{k'^4} \hat{p}$$

L'integrale in k' diverge sia UV che IR per $D=4$.

L'idea è di spezzare l'integrale in $|K_E| = |(-ik^0, \vec{k}')|$ in due intervalli: $]0, M]$ e $[M, +\infty[$, e

usare $\epsilon = \epsilon_{IR} < 0$ nel 1° ed $\epsilon = \epsilon_{UV} > 0$ nel 2°:

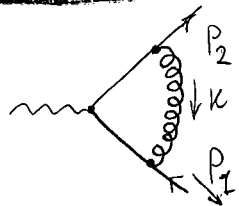
$$-i \int \frac{d^D k'}{k'^4} = \int \frac{d^D K_E}{K_E^4} = \int \frac{K_E^{D-1} dK_E d\Omega^{D-1}}{K_E^4} = \int d\Omega^{D-1} \int_0^\infty dK_E K_E^{-1-2\epsilon}$$

$$= \frac{2\pi^{D/2}}{\Gamma(D/2)} \left\{ \int_0^M dK K^{-1-2\epsilon_{IR}} + \int_M^\infty dK K^{-1-2\epsilon_{UV}} \right\}$$

$$= \frac{2\pi^{2+\epsilon}}{\Gamma(2+\epsilon)} \left\{ \frac{M^{-2\epsilon_{IR}}}{-2\epsilon_{IR}} - \frac{M^{-2\epsilon_{UV}}}{-2\epsilon_{UV}} \right\} = \frac{\pi^{2+\epsilon}}{\Gamma(2+\epsilon)} \left\{ \frac{1}{-\epsilon_{IR}} + \ln M^2 + \frac{1}{\epsilon_{UV}} - \ln M^2 + O(\epsilon) \right\}$$

che dà formalmente zero se identifichiamo $\epsilon_{IR} = \epsilon_{UV}$.

Se però rimuoviamo $\frac{1}{\epsilon_{UV}}$ mediante δ_2 , resta $\frac{1}{-\epsilon_{IR}}$ come detto prima.

$$-ie\Lambda^\mu = \text{diagram} = -ie(C_F \delta_{G_2} \Lambda_{QED}^\mu | e \rightarrow g)$$


in quanto agli estremi del propagatore del gluone

invece di $e \cdot e$ c'è $g \frac{a}{T_{G_1}} g \frac{b}{T_{G_2}} \delta^{ab} = g^2 \left(\frac{a}{T} \frac{b}{T} \right)_{G_2} = g^2 C_F \delta_{G_2}$

Abbiamo un'integrazione sull'impulso virtuale interno $\int d^D k$, abbiamo 3 propagatori con i rispettivi denominatori che combineremo in un unico fattore mediante la parametrizzazione di Feynman:

$$\Lambda^\mu = i g^2 C_F \int_0^1 dx \int_0^{1-x} dy \int \frac{d^D l}{(2\pi)^D} \frac{\gamma^\rho [(1-\gamma)\hat{p}_2 + x\hat{p}_1 + \hat{l}] \gamma^\mu [\gamma\hat{p}_2 + (1-x)\hat{p}_1 - \hat{l}] \gamma_\rho}{[l^2 + x\gamma \underbrace{2p_1 \cdot p_2}_{\rightarrow S} + i0]^3}$$

in cui abbiamo sostituito $k + \gamma p_2 - x p_1 = l$ per avere un denominatore della forma $[l^2 + A]^3 = [-l_E^2 + A]^3$ dopo la rotazione di Wick $l^0 = i l_E^4$.

- Al numeratore, abbiamo termini quadratici in l , responsabili delle divergenze UV: $\rightarrow \Lambda_{UV}^\mu$
 - I termini lineari in l danno contributo nullo all'integrale a causa dell'antisimmetria $l \rightarrow -l$ dell'integrando.
 - I termini costanti in l danno luogo a un contributo divergente IR (dopo l'integrazione in x, γ): $\rightarrow \Lambda_{IR}^\mu$
- Sfruttiamo $\gamma^\rho \gamma^\alpha \gamma^\mu \gamma^\beta \gamma_\rho = -2[\gamma^\beta \gamma^\mu \gamma^\alpha - \epsilon \gamma^\alpha \gamma^\mu \gamma^\beta]$
- $\gamma^\alpha \gamma^\mu \gamma_\alpha = -2(1-\epsilon) \gamma^\mu$

• Λ_{UV}^μ : usiamo $\int \frac{d^D l}{(2\pi)^D} \frac{l_\alpha l_\beta}{[l^2 + A + i0]^3} = g_{\alpha\beta} \frac{i i^{D/2} \Gamma(2 - \frac{D}{2})}{2(4\pi)^{D/2} \Gamma(3)} (-A - i0)^{\frac{D}{2}-2} \underline{10}$

$$\Lambda_{UV}^\mu = G_F \gamma^\mu (g\mu^\epsilon)^2 \frac{(4\pi)^\epsilon}{8\pi^2} \Gamma(\epsilon)(1-\epsilon)^2 (-S - i0)^{-\epsilon} \int_0^1 dx x^{-\epsilon} \underbrace{\int_0^{1-x} dy y^{-\epsilon}}_{\frac{(1-x)^{1-\epsilon}}{1-\epsilon}}$$

$$= \gamma^\mu \frac{\alpha_s G_F}{2\pi} \frac{1}{\bar{E}_{UV}} \left(\frac{4\pi\mu^2}{-S} \right)^\epsilon (1-\epsilon) \Gamma(1+\epsilon) B(1-\epsilon, 2-\epsilon) = \gamma^\mu \delta F_1^{UV, \Lambda}$$

presenta un polo $\frac{1}{\epsilon}$ di origine UV.

• Λ_{IR}^μ : usiamo $\int \frac{d^D l}{(2\pi)^D} \frac{1}{[l^2 + A + i0]^3} = \frac{-i i^{D/2} \Gamma(3 - \frac{D}{2})}{(4\pi)^{D/2} \Gamma(3)} (-A - i0)^{\frac{D}{2}-3}$

In questo termine la struttura di Dirac è più complessa, e ci conviene includere gli spinori on-shell \bar{u}_2, v_1 :

$$\bar{u}_2 \Lambda_{IR}^\mu v_1 = -\frac{2g^2 G_F (4\pi\mu^2)^\epsilon (-S)^{-1-\epsilon} \Gamma(1+\epsilon)}{(4\pi)^2} \int_0^1 dx \int_0^{1-x} dy f(x, y) (xy)^{-1-\epsilon}$$

ove $f(x, y) = \bar{u}_2 [\cancel{\gamma \hat{p}_2 + (1-x)\hat{p}_1}] \gamma^\mu [(1-y)\hat{p}_2 + x\hat{p}_1] v_1$
 $- \epsilon \bar{u}_2 [(1-y)\hat{p}_2 + x\hat{p}_1] \gamma^\mu [\cancel{\gamma \hat{p}_2 + (1-x)\hat{p}_1}] v_1$

$$= [(1-x)(1-y) - \epsilon xy] \underbrace{\bar{u}_2 \hat{p}_1 \gamma^\mu \hat{p}_2 v_1}_{(p_2 = q - p_1)}$$

$$\bar{u}_2 (\cancel{\hat{q} - \hat{p}_2}) \gamma^\mu (\cancel{\hat{q} - \hat{p}_1}) v_1 = \bar{u}_2 [\{\hat{q}, \gamma^\mu\} \hat{q} - \gamma^\mu \hat{q}^2] v_1$$

$$= 2q^\mu \bar{u}_2 (\cancel{\hat{p}_1 + \hat{p}_2}) v_1 - q^2 \bar{u}_2 \gamma^\mu v_1 = -S \bar{u}_2 \gamma^\mu v_1$$

$$\Rightarrow \delta F_1^{IR, \Lambda} = -\frac{\alpha_s G_F}{2\pi} \left(\frac{4\pi\mu^2}{-S} \right)^\epsilon \Gamma(1+\epsilon) \underbrace{\int_0^1 dx \int_0^{1-x} dy [(1-x)(1-y) - \epsilon xy] (xy)^{-1-\epsilon}}_{\frac{1}{2} B(1-\epsilon, 1-\epsilon) \left(\frac{2}{\bar{E}_{IR}^2} + 1 \right)}$$

in cui è evidenziata la natura IR del polo (doppio!)

La differenza di quanto accade nella correzione al vertice per fermioni con massa $m \neq 0$, in cui si trova un polo semplice IR, quando $m=0$ si trova un polo doppio, dovuto alla sovrapposizione di singolarità soffici ($K \rightarrow 0$) e collineari ($K \parallel p_1, p_2$). Lo vedremo meglio nel calcolo dell'emissione reale.

Mettendo assieme $\Lambda_{IR}^M + \Lambda_{UV}^M$ troviamo correzioni al solo fattore di forma F_1 : $F_2 = 0$ se $m=0$.

$$\delta F_1^{\wedge}(q^2=s) = \frac{\alpha_s}{4\pi} C_F \left(\frac{4\pi\mu^2}{-s} \right)^\epsilon \Gamma(1+\epsilon) B(1-\epsilon, 1-\epsilon) \left[-\frac{2}{E_{IR}^2} + \frac{1}{E_{UV}} + 2 \right]$$

Per ottenere la correzione al vertice completo, rimane da aggiungere a δF_1 il contributo del controtermine di vertice

$$\cancel{u} = -ie\gamma^\mu \delta_1^{\text{QCD}} \quad \text{ove} \quad Z_1^{\text{QCD}} = 1 + \delta_1^{\text{QCD}}$$

$$\Rightarrow \delta F_1(q^2) = \delta F_1^{\wedge}(q^2) + \delta_1^{\text{QCD}}$$

Nello schema $\overline{\text{MS}}$, δ_1^{QCD} elimina la divergenza UV e alcuni termini finiti:

$$\delta_1^{\text{QCD}, \overline{\text{MS}}} = -\frac{\alpha_s}{4\pi} C_F \left[\frac{1}{E_{UV}} - \gamma + \ln 4\pi \right]$$

